

ПРИМЕНЕНИЕ ПОЛИНОМИАЛЬНЫХ АЛГЕБР И ТЕОРИИ ГАЛУА ДЛЯ СИНТЕЗА БЫСТРЫХ АЛГОРИТМОВ ДИСКРЕТНЫХ КОСИНУСНЫХ ПРЕОБРАЗОВАНИЙ

М.И. ВАШКЕВИЧ, А.А. ПЕТРОВСКИЙ

Аннотация

Предлагается систематический подход к синтезу быстрых алгоритмов дискретных косинусных преобразований второго и четвертого типов (ДКП-2/ДКП-4), основанный на алгебраической теории обработки сигналов (АТОС). В рамках АТОС, быстрый алгоритм преобразования получается не путем действий с коэффициентами матрицы преобразования, а как пошаговая декомпозиция полиномиальной алгебры, отвечающей данному преобразованию. Данная декомпозиция предполагает пошаговую факторизацию полинома, для чего предлагается использовать подполя поля разложения полинома, получаемые с использованием основной теоремы теории Галуа.

1 Введение

Для описания и синтеза быстрых алгоритмов дискретных преобразований, таких как дискретное косинусное преобразование (ДКП) и дискретное преобразование Фурье (ДПФ) в настоящее время используются различные математические системы обозначений [1]:

- Алгебраическая система обозначений, предложенная Кули и Тьюки, используется для получения коротких рекурсивных уравнений, которые оказываются удобными при составлении программ и исследовании ошибок округления;
- Матричная система обозначений, в которой быстрый алгоритм преобразования представляется в виде произведения структурированных матриц;
- Полиномиальные алгебры. Позволяют перейти от матрицы преобразования к рассмотрению полиномиальных алгебр и использовать для синтеза быстрых алгоритмов математический аппарат теории групп и колец [2–4];
- Модель сигнала. Понятие модели сигнала обобщает использование полиномиальных алгебр для синтеза быстрых алгоритмов преобразований и позволяет с единых позиций рассматривать различные дискретные преобразования и их быстрые алгоритмы [5].

В данной работе используется подход на основе понятия модели сигнала [5]. Однако, в отличие от [5], в качестве основного выбирается поле рациональных, а не комплексных чисел. Это изменение приводит к тому, что для синтеза быстрого алгоритма приходится вводить в рассмотрение расширения поля рациональных чисел, что в свою очередь ведет к новой структуре быстрых алгоритмов. Упомянутая особенность также позволяет найти применение в ЦОС изящного математического аппарата теории Галуа.

В качестве практического применения предлагаемого алгебраического подхода разработан быстрый алгоритм 8-точечного ДКП-2, содержащий в ядре своей структуры только 5 операций умножения и 29 операций сложения.

Статья имеет следующую структуру. Во втором разделе для удобства читателя приводятся основные сведения из АТОС. В третьем разделе описываются модели сигнала соответствующие ДКП-2 и ДКП-4. Четвертый раздел содержит описание предлагаемого метода синтеза быстрых алгоритмов ДКП-2 и ДКП-4 с использованием теории Галуа, а также практические примеры. Ниже приведены некоторые пояснения по поводу используемых обозначений.

Представление алгоритма. Традиционно в ЦОС линейное преобразование записывается в виде

$$y_k = \sum_{0 \leq \ell < n} t_{k,\ell} s_\ell$$

где $\mathbf{s} = (s_0, \dots, s_{n-1})^T$ входной сигнал, $\mathbf{y} = (y_0, \dots, y_{n-1})^T$ выходной сигнал, а $t_{k,\ell}$ коэффициенты преобразования. Тем не менее, часто более удобной является векторно-матричная форма записи преобразования:

$$\mathbf{y} = T\mathbf{s}, \quad \text{где } T = [t_{k,\ell}]_{0 \leq k, \ell < n}.$$

В этом случае быстрый алгоритм для преобразования представляется в виде факторизации матрицы T в произведение слабозаполненных, структурированных матриц [6].

Обозначения. Ниже приведены используемые в статье типы матриц

$$I_n = \begin{bmatrix} 1 & & \\ & \ddots & \\ & & 1 \end{bmatrix}, \quad J_n = \begin{bmatrix} & & 1 \\ & \ddots & \\ 1 & & \end{bmatrix}.$$

Все матрицы, как правило, обозначаются заглавными латинскими буквами (например A_n – квадратная матрица порядка n), а вектора – строчными латинскими буквами (полужирное начертание шрифта). Диагональные матрицы записываются как $\text{diag}(\alpha_0, \dots, \alpha_{n-1})$. Также используется оператор прямой суммы матриц

$$A \oplus B = \begin{bmatrix} A & \\ & B \end{bmatrix}.$$

Полиномы обозначаются строчными латинскими буквами, например $p(x)$, $q(x)$. Часто для удобства и экономии пространства аргумент x опускается.

2 Алгебраическая теория обработки сигналов: обзор

2.1 Полиномиальная алгебра

В [5] показывается, что любое дискретное тригонометрическое преобразование (в том числе ДПФ и ДКП) связано с определенной полиномиальной алгеброй. Под алгеброй здесь понимается векторное пространство \mathcal{A} над числовым полем \mathbb{F} , в котором установлена операция *умножения*, приводящая в соответствие каждой паре элементов p, q из \mathcal{A} элемент $r \in \mathcal{A}$ [7]. Примером алгебр могут служить система комплексных чисел, кватернионов или $\mathbb{F}[x]$ (множество всех полиномов с коэффициентами из поля \mathbb{F}).

Практическую значимость для ЦОС представляет полиномиальная алгебра, определяемая как

$$\mathcal{A} = \mathbb{F}[x]/p(x) = \{q(x) \mid \deg q < \deg p\},$$

множество всех полиномов со степенью меньше $\deg p$ и операциями сложения и умножения, выполняемыми по модулю $p(x)$.

2.2 Концепция модели сигнала

Развитие понятия полиномиальной алгебры привело к появлению алгебраической теории обработки сигналов (АТОС) (от англ. «algebraic signal processing theory»), в которой наши применения многие понятия современной алгебры [8].

АТОС это общий аксиоматический подход к ЦОС, который строится на концепции *модели сигнала*, определяемой тройкой $(\mathcal{A}, \mathcal{M}, \mathcal{Z})$, где \mathcal{A} – это пространство фильтров (алгебра), \mathcal{M} – пространство сигналов (\mathcal{A} -модуль) и \mathcal{Z} – обобщенная концепция z-преобразования. Модель сигнала $(\mathcal{A}, \mathcal{M}, \mathcal{Z})$ устанавливает связь векторно-матричных операций, в которых выражаются дискретные линейные преобразования, с их алгебраической структурой (можно сказать, что существуют две изоморфные области – область алгебраических структур и область их векторно-матричного представления).

Множество сигналов \mathcal{M} представляет собой векторное пространство. Т.о. сигналы можно складывать и умножать на константы из основного поля. В ЦОС сигналы обрабатываются линейными системами, которые, как правило, называют фильтрами. В АТОС фильтрацию представляют, как умножение

$$s' = h \cdot s, \tag{1}$$

где $s, s' \in \mathcal{M}$, а h принадлежит пространству фильтров \mathcal{A} . Пространство фильтров имеет более сложную структуру, чем пространство сигналов, в нем определены следующие операции:

- $h + h' \in \mathcal{A}$;
- $\alpha h \in \mathcal{A}$, где α константа из основного поля;
- $h \cdot h' \in \mathcal{A}$.

Первые две операции определяют \mathcal{A} , как векторное пространство, а третья делает \mathcal{A} алгеброй.

Таким образом, пространство фильтров является алгеброй \mathcal{A} , которая действует в векторном пространстве \mathcal{M} , образуя в нем структуру левого \mathcal{A} -модуля. По определению левым \mathcal{A} -модулем называется векторное пространство \mathcal{M} с операцией умножения слева на элементы алгебры \mathcal{A} , обладающей следующими свойствами:

$$\begin{aligned} h \cdot (s + s') &= h \cdot s + h \cdot s', \\ (h + h') \cdot s &= h \cdot s + h' \cdot s, \\ (h \cdot h') \cdot s &= h \cdot (h' \cdot s), \end{aligned} \tag{2}$$

для любых $h, h' \in \mathcal{A}$ и $s, s' \in \mathcal{M}$.

В [8] показано, что если модель сигнала строится для конечномерных сигналов $\mathbf{s} = (s_0, \dots, s_{n-1}) \in \mathbb{F}^n$ и ей свойственна инвариантность к сдвигу, то \mathcal{A} обязана быть полиномиальной алгеброй $\mathbb{F}[x]/p(x)$. Далее, если в $\mathbb{F}[x]/p(x)$ задан базис $b = (p_0, \dots, p_{n-1})$, то $\mathcal{A} = \mathcal{M} = \mathbb{F}[x]/p(x)$ с отображением

$$\mathcal{Z}: \mathbb{F}^n \rightarrow \mathcal{M}, \mathbf{s} \mapsto s = s(x) = \sum_{0 \leq \ell < n} s_\ell p_\ell,$$

определяют модель сигнала, где \mathcal{Z} это «z-преобразование» для данной модели. Можно сказать, что \mathcal{Z} выполняет отображения конечномерного сигнала $\mathbf{s} \in \mathbb{F}^n$ в пространство \mathcal{M} . Заметим, что \mathcal{Z} зависит от выбора базиса b в \mathcal{M} . Выражение $\mathcal{A} = \mathcal{M}$ показывает, что базисное множество у алгебры \mathcal{A} и векторного пространства \mathcal{M} совпадают, в этом случае \mathcal{M} называют *регулярным* \mathcal{A} -модулем. Тем не менее, даже, если множества \mathcal{A} и \mathcal{M} равны, их алгебраическая структура различна. Так, например, для элементов из \mathcal{M} не определена операция умножения.

2.3 Матричное представление алгебр

Свойства (2) показывают, что каждый фильтр $h \in \mathcal{A}$ определяет линейное преобразование $\mathcal{M} \rightarrow \mathcal{M}$ (см. выражение (1)). При любом выборе базиса $b = (p_0, \dots, p_{n-1})$ в \mathcal{M} линейному преобразованию h будет отвечать матрица M_h размера $n \times n$, которая называется (матричным) представлением фильтра h . Применяя h к каждому базисному вектору p_j можно найти матрицу $M_h = [m_{ij}]_{0 \leq i, j < n}$

$$h \cdot p_j = \sum_{i=0}^{n-1} m_{ij} p_i, \quad m_{ij} \in \mathbb{F}. \quad (3)$$

Определяя таким образом M_h для каждого $h \in \mathcal{A}$, получаем отображение алгебры \mathcal{A} в алгебру матриц $\mathbb{F}^{n \times n}$:

$$\phi: \mathcal{A} \rightarrow \mathbb{F}^{n \times n}, \quad h \mapsto \phi(h) = M_h.$$

Отображение ϕ является *гомоморфизмом* алгебр, т.е. таким отображением, которое сохраняет структуру алгебры:

$$\phi(h + h') = \phi(h) + \phi(h'), \quad \text{и} \quad \phi(hh') = \phi(h)\phi(h').$$

ϕ называют (матричным) представлением \mathcal{A} отвечающим \mathcal{A} -модулю \mathcal{M} с базисом b .

Если каждому элементу s пространства сигналов \mathcal{M} соответствует сигнал \mathbf{s} из \mathbb{F}^n , то каждому элементу h пространства фильтров \mathcal{A} соответствует матрица некоторого линейного оператора из $\mathbb{F}^{n \times n}$. В случае, когда $\mathcal{A} = \mathbb{F}[x]/p(x)$ для установления связи между \mathcal{A} и $\mathbb{F}^{n \times n}$ достаточно определить линейный оператор, который будет играть роль умножения на x т.е.

$$\phi: \mathcal{A} \rightarrow \mathbb{F}^{n \times n}, \quad x \mapsto \phi(x) = A.$$

Тогда любому (фильтру) полиному $h(x) \in \mathcal{A} = \mathbb{F}[x]/p(x)$ будет соответствовать операторный полином в $\mathbb{F}^{n \times n}$:

$$\phi: h(x) = h_{n-1}x^{n-1} + \dots + h_1x + h_0 \mapsto h(A) = h_{n-1}A^{n-1} + \dots + h_1A + h_0I,$$

В [8] доказывается, что $x \in \mathcal{A}$ является оператором сдвига и порождающим элементом алгебры $\mathcal{A} = \mathbb{F}[x]/p(x)$, а $\phi(x)$ – матричным представлением оператора сдвига.

Инвариантность к сдвигу. В ЦОС важным является понятие инвариантности линейной системы к сдвигу. В АТОС это свойство принимает весьма простую форму. А именно, если x оператор сдвига, h любой фильтр, то инвариантность к сдвигу имеет место, если для любого $s \in \mathcal{M}$ выполняется тождество $h(xs) = (hx)s$, что эквивалентно:

$$x \cdot h = h \cdot x, \quad \forall h \in \mathcal{A}. \quad (4)$$

В случае если x порождающий элемент \mathcal{A} , то алгебра \mathcal{A} является коммутативной и, следовательно, выполнение (4) гарантировано. Тем самым доказывается, что если модель сигнала $(\mathcal{A}, \mathcal{M}, \mathcal{Z})$ поддерживает свойство инвариантности к сдвигу, то соответствующая алгебра \mathcal{A} является коммутативной.

Пример: модель сигнала дискретного времени. В качестве примера рассмотрим модель сигнала $\mathcal{A} = \mathcal{M} = \mathbb{F}[x]/(x^3 - 1)$ с базисом $b = (x^0, x^1, x^2)$ в \mathcal{M} , тогда для сигнала $\mathbf{s} = (s_0, s_1, s_2) \in \mathbb{F}^3$ получим:

$$\mathcal{Z}: \mathbf{s} \mapsto s = s(x) = s_0 + s_1x + s_2x^2 \in \mathbb{F}[x]/(x^3 - 1).$$

Операция умножения, которая соответствует фильтрации, в данной модели для $h(x) \in \mathcal{A}$ и $s(x) \in \mathcal{M}$ определяется как

$$h(x)s(x) \bmod (x^3 - 1), \quad (5)$$

что соответствует вычислению круговой свертке коэффициентов \mathbf{h} и \mathbf{s} . Далее, используя (3) построим матричное представление простейшего фильтра $h(x) = x \in \mathcal{A}$:

$$x \cdot x^0 \bmod(x^3 - 1) = x^1, \quad x \cdot x^1 \bmod(x^3 - 1) = x^2, \quad x \cdot x^2 \bmod(x^3 - 1) = x^0,$$

откуда

$$\phi(x) = A = \begin{bmatrix} 0 & 0 & 1 \\ 1 & 0 & 0 \\ 0 & 1 & 0 \end{bmatrix}. \quad (6)$$

В (6) легко узнать матрицу оператора циклического сдвига. Применяя (6) к фильтру $h(x) = h_0 + h_1x + h_2x^2 \in \mathcal{A}$ получим его матричное представление:

$$\begin{aligned} h(x) = h_0 + h_1x + h_2x^2 &\stackrel{\phi}{\mapsto} h(A) = h_2A^2 + h_1A^1 + h_0I = \\ &= h_2 \begin{bmatrix} 0 & 1 & 0 \\ 0 & 0 & 1 \\ 1 & 0 & 0 \end{bmatrix} + h_1 \begin{bmatrix} 0 & 0 & 1 \\ 1 & 0 & 0 \\ 0 & 1 & 0 \end{bmatrix} + h_0 \begin{bmatrix} 1 & 0 & 0 \\ 0 & 1 & 0 \\ 0 & 0 & 1 \end{bmatrix} = \begin{bmatrix} h_0 & h_2 & h_1 \\ h_1 & h_0 & h_2 \\ h_2 & h_1 & h_0 \end{bmatrix}. \end{aligned}$$

Таким образом, операции умножения (5), производимой в \mathcal{A} -модуле \mathcal{M} , соответствует умножение вектора на матрицу, результатом которого является циклическая свертка векторов \mathbf{h} и \mathbf{s} :

$$\begin{bmatrix} s_0' \\ s_1' \\ s_2' \end{bmatrix} = \begin{bmatrix} h_0 & h_2 & h_1 \\ h_1 & h_0 & h_2 \\ h_2 & h_1 & h_0 \end{bmatrix} \begin{bmatrix} s_0 \\ s_1 \\ s_2 \end{bmatrix}.$$

2.4 Полиномиальное преобразование

Основные определения. Пусть задана полиномиальная алгебра $\mathcal{A} = \mathbb{C}[x]/p(x)$, где \mathbb{C} поле комплексных чисел. Предположим, что все корни $\alpha = (\alpha_0, \dots, \alpha_{n-1})$ полинома $p(x)$ попарно различны. Тогда любой полином из \mathcal{A} можно разложить согласно Китайской теореме об остатках (КТО) следующим образом

$$\begin{aligned} \mathcal{F}: \mathbb{C}[x]/p(x) &\rightarrow \bigoplus_{0 \leq k < n} \mathbb{C}[x]/(x - \alpha_k), \\ s(x) &\mapsto (s(\alpha_0), \dots, s(\alpha_{n-1})). \end{aligned} \quad (7)$$

Преобразование (7) линейно и имеет простую интерпретацию [9]: полином степени $n - 1$ полностью определяется либо своими коэффициентами, либо списком своих значений в n различных точках. Преобразование (7) выполняет переход от коэффициентов полинома к его значениям в точках $\alpha = (\alpha_0, \dots, \alpha_{n-1})$. Как векторное пространство $\mathcal{A} = \mathbb{C}[x]/p(x)$ под действием \mathcal{F} раскладывается в прямую сумму одномерных подпространств $\mathbb{C}[x]/(x - \alpha_k)$. Следовательно, если зафиксировать базис $b = (p_0, \dots, p_{n-1})$ в \mathcal{A} и выбрать базис (с единичной нормой) $\|x^0\| = 1$ в каждом подпространстве $\mathbb{C}[x]/(x - \alpha_k)$, то преобразование \mathcal{F} приобретет матричную форму:

$$\mathcal{F} = \mathcal{P}_{b,\alpha} = [p_\ell(\alpha_k)]_{0 \leq k, \ell < n}. \quad (8)$$

$\mathcal{P}_{b,\alpha}$ называют *полиномиальным преобразованием* для $\mathcal{A} = \mathbb{C}[x]/p(x)$ с базисом b . Если в подпространствах $\mathbb{C}[x]/(x - \alpha_k)$ выбрать базисы с нормой отличной от единицы $\|x^0\| = \beta_k$, то получаемое преобразование

$$\mathcal{F} = \text{diag}(1/\beta_0, \dots, 1/\beta_{n-1}) \cdot \mathcal{P}_{b,\alpha},$$

называют *масштабированным полиномиальным преобразованием*. Часто (8) также называют преобразованием Фурье для модуля \mathcal{M} .

Пример: полиномиальное преобразование для модели сигнала дискретного времени. Рассмотрим модель сигнала $\mathcal{A} = \mathcal{M} = \mathbb{C}[x]/(x^n - 1)$ с базисом $b = (x^0, \dots, x^{n-1})$ в \mathcal{M} . Корнями полинома $(x^n - 1)$ являются $\alpha = (\omega_n^0, \dots, \omega_n^{n-1})$, где $\omega_n = e^{-j2\pi/n}$. Таким образом, преобразование Фурье для данной модели задается как

$$\mathcal{F}: \mathbb{C}[x]/(x^n - 1) \rightarrow \bigoplus_{0 \leq k < n} \mathbb{C}[x]/(x - \omega_n^k),$$

или в матричной форме

$$\mathcal{F} = \mathcal{P}_{b,\alpha} = [\omega_n^{k\ell}]_{0 \leq k, \ell < n} = \text{DFT}_n,$$

что в точности совпадает матрицей ДПФ, и объясняет, почему модель названа моделью дискретного времени.

2.5 Синтез быстрых алгоритмов с использованием концепции модели сигнала

Важнейшим применением понятия модели сигнала является изучение, вывод и классификация быстрых алгоритмов преобразований. Имеется большое число различных преобразований, широко используемых в ЦОС, таких как ДПФ и ДКП для которых разработаны быстрые алгоритмы. Получение большинства этих алгоритмов заключается в искусном обращении с коэффициентами преобразования. Тем не менее, подобные способы не помогают уяснить ни структуру, ни суть быстрых алгоритмов.

В АТОС основная идея заключается в получении быстрого алгоритма по модели сигнала, описывающего преобразование, а не из самого преобразования. Рассмотрим модель сигнала $\mathcal{A} = \mathcal{M} = \mathbb{C}[x]/p(x)$, для которого \mathcal{F} является преобразованием Фурье. Преобразование \mathcal{F} раскладывает модуль \mathcal{M} на неприводимые компоненты, называемые спектром. С точки зрения линейной алгебры \mathcal{M} (как векторное пространство) раскладывается на инвариантные подпространства относительно линейного оператора, играющего роль умножения на x . В случае полиномиальной алгебры преобразование \mathcal{F} является частным случаем КТО

$$\mathcal{F}: \mathbb{C}[x]/p(x) \rightarrow \bigoplus_{0 \leq k < n} \mathbb{C}[x]/(x - \alpha_k), \quad (9)$$

где $\deg(p) = n$ и α_k корни полинома p . Заметим, что каждое слагаемое в правой части имеет размерность равную единице. Суть быстрого алгоритма заключается в поэтапном выполнении (9). Как правило, рассматриваются два основных способа поэтапной декомпозиции (9):

- Факторизация $p: p(x) = q(x) \cdot r(x)$;
- Декомпозиция $p: p(x) = q(r(x))$.

Получение быстрого алгоритма путем факторизации состоит в рекурсивном разбиении полинома p . Если $p = q \cdot r$, то

$$\mathbb{C}[x]/p(x) \rightarrow \mathbb{C}[x]/q(x) \oplus \mathbb{C}[x]/r(x) \rightarrow \quad (10)$$

$$\rightarrow \bigoplus_{0 \leq i < k} \mathbb{C}[x]/(x - \beta_i) \oplus \bigoplus_{0 \leq j < m} \mathbb{C}[x]/(x - \gamma_j) \rightarrow \quad (11)$$

$$\rightarrow \bigoplus_{0 \leq i < n} \mathbb{C}[x]/(x - \alpha_i). \quad (12)$$

В приведенных выражениях $\deg(q) = k$, $\deg(r) = m$, β_i – корни полинома q , γ_j – корни полинома r , очевидно, что β_i и γ_j подмножества корней α_i полинома p . Шаги (10) и (11) используют КТО, в то время как (12) является простым переупорядочиванием компонент спектра. В [5] доказывается следующая

Теорема 1. Пусть $p(x) = q(x) \cdot r(x)$, выберем c и d в качестве базисов для модулей $\mathbb{C}[x]/q(x)$ и $\mathbb{C}[x]/r(x)$, соответственно, тогда, обозначив через β и γ множества корней q и r соответственно, получаем

$$\mathcal{P}_{b,\alpha} = P(\mathcal{P}_{c,\beta} \oplus \mathcal{P}_{d,\gamma})B. \quad (13)$$

Матрица B отвечает переходу (10), т.е. отображению базиса b в конкатенированный базис (c, d) , а P является матрицей перестановки, которая отображает конкатенацию (β, γ) в список корней α в выражении (12).

Пример: 4-точечное БПФ. Рассмотрим модель сигнала $\mathcal{A} = \mathcal{M} = \mathbb{C}[x]/(x^4 - 1)$ с базисом $b = (1, x^1, x^2, x^3)$ в \mathcal{M} . Полиномиальным преобразованием данной модели служит ДПФ. Заметим, что $x^4 - 1 = (x^2 - 1)(x^2 + 1)$, тогда, используя теорему 1, получаем следующую декомпозицию

$$\mathbb{C}[x]/(x^4 - 1) \rightarrow \mathbb{C}[x]/(x^2 - 1) \oplus \mathbb{C}[x]/(x^2 + 1) \rightarrow \quad (14)$$

$$\rightarrow \bigoplus_{0 \leq i < 2} \mathbb{C}[x]/(x - \beta_i) \oplus \bigoplus_{0 \leq j < 2} \mathbb{C}[x]/(x - \gamma_j) \rightarrow \quad (15)$$

$$\rightarrow \bigoplus_{0 \leq i < 4} \mathbb{C}[x]/(x - \alpha_i). \quad (16)$$

Выберем $c = d = (1, x)$ в качестве базисов меньших модулей $\mathbb{C}[x]/(x^2 - 1)$ и $\mathbb{C}[x]/(x^2 + 1)$. Вначале получим матрицу смены базиса B . Для этого необходимо выразить элементы $x^l \in b$ в базисе (c, d) :

$$\begin{aligned} 1 &\equiv 1 \pmod{(x^2 - 1)}, & 1 &\equiv 1 \pmod{(x^2 + 1)}, \\ x &\equiv x \pmod{(x^2 - 1)}, & x &\equiv x \pmod{(x^2 + 1)}, \\ x^2 &\equiv 1 \pmod{(x^2 - 1)}, & x^2 &\equiv -1 \pmod{(x^2 + 1)}, \\ x^3 &\equiv x \pmod{(x^2 - 1)}, & x^3 &\equiv -x \pmod{(x^2 + 1)}. \end{aligned}$$

Таким образом, получаем отображение:

$$1 \mapsto (1, 1), \quad x \mapsto (x, x), \quad x^2 \mapsto (1, -1), \quad x^3 \mapsto (x, -x),$$

которое определяет матрицу B

$$B = \begin{bmatrix} I_2 & I_2 \\ I_2 & -I_2 \end{bmatrix},$$

Полиномиальные преобразования $\mathcal{P}_{c,\beta}$ и $\mathcal{P}_{d,\gamma}$ можно найти исходя из (8) и учитывая, что $\beta = \{1, -1\}$, а $\gamma = \{j, -j\}$

$$\mathcal{P}_{c,\beta} = \begin{bmatrix} 1 & 1 \\ 1 & -1 \end{bmatrix}, \quad \mathcal{P}_{d,\gamma} = \begin{bmatrix} 1 & j \\ 1 & -j \end{bmatrix}.$$

Поскольку корни $(x^4 - 1)$ образуют упорядоченное множество $\alpha = (1, j, -1, -j)$, то переходу (16) соответствует матрица

$$P = \begin{bmatrix} 1 & 0 & 0 & 0 \\ 0 & 0 & 1 & 0 \\ 0 & 1 & 0 & 0 \\ 0 & 0 & 0 & 1 \end{bmatrix},$$

которая отображает конкатенацию (β, γ) в множество корней α . Используя (13) запишем полиномиальное преобразование для данной модели сигнала:

$$\mathcal{P}_{b,\alpha} = \text{DFT}_4 = P \begin{bmatrix} \mathcal{P}_{c,\beta} & \\ & \mathcal{P}_{d,\gamma} \end{bmatrix} B = \begin{bmatrix} 1 & 0 & 0 & 0 \\ 0 & 0 & 1 & 0 \\ 0 & 1 & 0 & 0 \\ 0 & 0 & 0 & 1 \end{bmatrix} \cdot \begin{bmatrix} 1 & 1 \\ 1 & -1 \\ & j \\ & -j \end{bmatrix} \cdot \begin{bmatrix} 1 & 0 & 1 & 0 \\ 0 & 1 & 0 & 1 \\ 1 & 0 & -1 & 0 \\ 0 & 1 & 0 & -1 \end{bmatrix}. \quad (17)$$

Выражение (17) представляет собой факторизацию матрицы 4-точечного ДПФ. Каждая матрица-сомножитель является слабозаполненной из чего следует, что (17) определяет быстрый алгоритм для DFT_4 .

3 Модели сигналов дискретных тригонометрических преобразований

3.1 Дискретные тригонометрические преобразования.

Шестнадцать типов дискретных тригонометрических преобразований (ДТП) (восемь косинусных и восемь синусных преобразований) являются преобразованиями Фурье для соответствующих моделей одномерного конечного пространства [5]. Наиболее широкое распространение получило ДКП-2, применяемое в стандарте кодирования изображений JPEG [10], а также ДКП-4, применяемое в стандарте кодирования аудио MP3, а также при построении косинусно-модулированных банков фильтров.

В отличие от дискретной модели времени, которая определяет ДПФ, для моделей конечного пространства базисными полиномами являются полиномы Чебышева первого (T_ℓ), второго (U_ℓ), третьего (V_ℓ) и четвертого (W_ℓ) рода.

3.2 Полиномы Чебышева

Полиномы Чебышева [11] образуют специальный класс ортогональных многочленов и играют важную роль во многих областях математики. В данном подразделе рассматриваются только те свойства полиномов Чебышева, которые будут использованы в дальнейшем.

Обозначим через $C_0(x) = 1$ и $C_1(x)$ полиномы нулевой и первой степени, тогда $C_n(x)$ для $n > 1$ определяется рекуррентной формулой

$$C_n(x) = 2xC_{n-1}(x) - C_{n-2}(x).$$

Данный ряд полностью определяется условием $C_0 = 1$ и выбором C_1 . Для ЦОС практическую значимость имеют четыре частных случая полиномов Чебышева [5]. Они обозначаются, как $C \in \{T, U, V, W\}$ и называются полиномами Чебышева первого, второго, третьего и четвертого рода (таблица 1).

Таблица 1 Полиномы Чебышева 1-4 рода.

	Первые члены ряда	Аналитический вид ($\cos \theta = x$)	Вид симметрии	Корни, $0 \leq k < n$
T_n	$1, x$	$\cos(n\theta)$	$T_{-n} = T_n$	$\cos \frac{(k+\frac{1}{2})\pi}{n}$
U_n	$1, 2x$	$\frac{\sin(n+1)\theta}{\sin \theta}$	$U_{-n} = -U_{n-2}$	$\cos \frac{(k+1)\pi}{n+1}$
V_n	$1, 2x - 1$	$\frac{\cos(n+\frac{1}{2})\theta}{\cos \frac{1}{2}\theta}$	$V_{-n} = V_{n-1}$	$\cos \frac{(k+\frac{1}{2})\pi}{n+\frac{1}{2}}$
W_n	$1, 2x + 1$	$\frac{\sin(n+\frac{1}{2})\theta}{\sin \frac{1}{2}\theta}$	$W_{-n} = -W_{n-1}$	$\cos \frac{(k+1)\pi}{n+\frac{1}{2}}$

В дальнейшем рассмотрении нам понадобятся сведения по вопросу факторизации полиномов Чебышева над полем рациональных чисел \mathbb{Q} . В [12] доказываются следующие теоремы, которые будут нами использованы в дальнейшем.

Теорема 2. Пусть $n > 1$ целое число, тогда

$$T_n(x) = 2^{n-1} \prod_h D_h(x), \quad D_h(x) = \prod_{\substack{k=1 \\ (2k-1, n)=h}}^n \left(x - \cos \frac{(k+\frac{1}{2})\pi}{n} \right), \quad (18)$$

где $h \leq n$ пробегает через все положительные делители n и $D_h(x)$ – неприводимый полином над полем рациональных чисел,

Теорема 3. Пусть $n \geq 2$ целое число, тогда

$$U_n(x) = \prod_h E_h(x), \quad E_h(x) = 2^{l_h} \prod_{\substack{k=1 \\ (k, 2n+2)=h}}^n \left(x - \cos \frac{(k+1)\pi}{n+1} \right), \quad (19)$$

где $h \leq n$ пробегает все положительные делители числа $(2n+2)$ и $E_h(x)$ – неприводимые полиномы над полем рациональных чисел, через (k, n) обозначается наибольший общий делитель чисел k и n . В последнем выражении $l_h = \phi((2n+2)/h)/2$ (ϕ – функция Эйлера).

3.3 Модели сигнала для ДКП-2 и ДКП-4

В [5] показывается, что ДКП-2 отвечает модель сигнала $\mathcal{M} = \mathcal{A} = \mathbb{C}[x]/2(x-1)U_{n-1}$ с обобщенным z -преобразованием, которое в данном случае носит название конечного V -преобразования

$$\mathcal{Z}: \mathbb{C}^n \rightarrow \mathcal{M}, \quad \mathbf{s} \mapsto \sum_{0 \leq \ell < n} s_\ell V_\ell \in \mathcal{M},$$

где $\mathbf{s} \in \mathbb{C}^n$.

После того, как определена модель сигнала $(\mathcal{A}, \mathcal{M}, \mathcal{Z})$ остальные концепции, такие как преобразование Фурье и свертка выводятся автоматически. Покажем, что для рассматриваемой модели сигнала, преобразование Фурье совпадает с ДКП-2. Согласно таблице 1 корни полинома $2(x-1)U_{n-1}$ задаются выражением $\alpha_k = \cos k\pi/n$, $0 \leq k < n$. Таким образом, преобразование Фурье для \mathcal{M} в соответствии с (8)

$$\mathcal{P}_{b,\alpha} = [V_\ell(\alpha_k)]_{0 \leq \ell, k < n} = \left[\frac{1}{\cos k\pi/2n} \cdot \cos \frac{k(\ell + \frac{1}{2})\pi}{n} \right]_{0 \leq \ell, k < n}.$$

Для получения ДКП-2 необходимо выполнить масштабирование полученного преобразования

$$\text{DCT2}_n = \text{diag}_{0 \leq k < n} (\cos k\pi/(2n)) \cdot [V_\ell(\alpha_k)]_{0 \leq \ell, k < n}. \quad (20)$$

Тем самым показывается, что DCT2_n является преобразованием Фурье для регулярного модуля $\mathcal{M} = \mathbb{C}[x]/(x-1)U_{n-1}$.

ДКП-4 соответствует модель сигнала $\mathcal{M} = \mathcal{A} = \mathbb{C}[x]/2T_n$ с базисом $b = (V_0, \dots, V_{n-1})$ и обобщенным z -преобразованием таким же, как и у ДКП-2. Корнями полинома $2T_n(x)$ являются числа $\alpha_k = \cos(k+\frac{1}{2})\pi/n$. Следовательно, полиномиальное преобразование данной модели сигнала задается как

$$\mathcal{P}_{b,\alpha} = [V_\ell(\alpha_k)]_{0 \leq \ell, k < n} = \left[\frac{1}{\cos(k+\frac{1}{2})\pi/(2n)} \cdot \cos \frac{(k+\frac{1}{2})(\ell+\frac{1}{2})\pi}{n} \right]_{0 \leq \ell, k < n}. \quad (21)$$

ДКП-4 получается из (21) умножением на диагональную матрицу

$$\text{DCT4}_n = \text{diag}_{0 \leq k < n} (\cos(k+\frac{1}{2})\pi/(2n)) \cdot [V_\ell(\alpha_k)]_{0 \leq \ell, k < n}. \quad (22)$$

Каждому дискретному тригонометрическому преобразованию ДТТ отвечает полиномиальное преобразование, которое обозначается как $\overline{\text{ДТТ}}$. Например $\overline{\text{DCT2}}_n$ соответствует матрица (20).

4 Синтез быстрых алгоритмов ДКП-2 и ДКП-4

4.1 Основная идея

В разделе 2.5 было показано, что синтез быстрого алгоритма преобразования, связанного с алгеброй $\mathcal{A} = \mathbb{C}[x]/p(x)$ строится на основе факторизации полинома $p(x)$. Для ДКП-2 и ДКП-4 в роли $p(x)$ выступают полиномы $2(x-1)U_{n-1}(x)$ и $2T_n(x)$, соответственно. Основная идея состоит в использовании для синтеза быстрых алгоритмов факторизации $U_{n-1}(x)$ и $T_n(x)$ соотношений (19) и (18) соответственно. При этом в качестве основного поля изначально выбирается поле рациональных чисел \mathbb{Q} :

$$\mathbb{Q}[x]/2(x-1)U_{n-1}(x) \rightarrow \mathbb{Q}[x]/2(x-1) \oplus \bigoplus_h \mathbb{Q}[x]/E_h(x), \quad (23)$$

$$\mathbb{Q}[x]/2T_n(x) \rightarrow \bigoplus_h \mathbb{Q}[x]/D_h(x). \quad (24)$$

Разложения (23) и (24) требуют операций умножения на элементы из поля рациональных чисел, которые, как правило, имеют простую аппаратную реализацию. Отсутствие нетривиальных умножений обусловлено тем, что полиномы $U_{n-1}(x)$ и $T_n(x)$ имеют разложение над \mathbb{Q} .

Поскольку полином E_h и D_h неприводимы над \mathbb{Q} , то для выполнения декомпозиции подмодулей $\mathbb{Q}[x]/E_h(x)$ и $\mathbb{Q}[x]/D_h(x)$ необходимо расширить основное поле \mathbb{Q} до поля разложения полинома E_h и D_h соответственно. Такое расширение выполняется последовательно, используя башню полей, которая строится с использованием основной теоремы теории Галуа [13].

В следующем разделе приводится описание основных понятий из теории групп и теории Галуа, которые используются при описании процедуры синтеза быстрых алгоритмов.

4.2 Основные понятия теории групп и теории Галуа

Определение группы. Группой G называется совокупность элементов, на которой задана групповая операция « \cdot », сопоставляющая любой паре элементов $g_1, g_2 \in G$ некоторый элемент g_3 из той же совокупности G . При этом групповая операция должна удовлетворять трем условиям:

- ассоциативность: $g_1 \cdot (g_2 \cdot g_3) = (g_1 \cdot g_2) \cdot g_3$;
- существование единицы: в группе есть такой элемент e (иногда обозначается «1»), что $e \cdot g = g \cdot e = g$ для всех $g \in G$.
- существование обратного элемента: для любого $g \in G$ существует такой $g^{-1} \in G$, что $g \cdot g^{-1} = g^{-1} \cdot g = e$.

Поле разложение полинома. Для полинома $p(x) \in \mathbb{F}[x]$ полем разложения называют наименьшее расширение \mathbb{F} , которое содержит все корни $p(x)$. Например, для $p(x) = x^2 - 2$ полем разложения является $\mathbb{Q}(\sqrt{2})$. Поле $\mathbb{Q}(\sqrt{2})$ есть расширение поля \mathbb{Q} , которое образуется из \mathbb{Q} присоединением числа $\sqrt{2}$. Все элементы поля $\mathbb{Q}(\sqrt{2})$ имеют вид: $a + b\sqrt{2}$, где $a, b \in \mathbb{Q}$.

Автоморфизмы полей. Взаимнооднозначное отображение $\mathcal{B}: G \rightarrow G$ группы на себя, сохраняющее групповую операцию, называют автоморфизмом. Группа автоморфизмов обозначается $\text{Aut } G$. Автоморфизмы полей $\mathcal{B}: \mathbb{F} \rightarrow \mathbb{F}$ определяются аналогично, с тем уточнением, что взаимнооднозначное отображение \mathcal{B} поля на себя обязано сохранять обе операции [13],

$$\mathcal{B}(x + y) = \mathcal{B}(x) + \mathcal{B}(y), \quad \mathcal{B}(xy) = \mathcal{B}(x)\mathcal{B}(y), \quad x, y \in \mathbb{F}.$$

Пример: определим функцию $f: \mathbb{Q}(\sqrt{2}) \rightarrow \mathbb{Q}(\sqrt{2})$ следующим образом

$$f(a + b\sqrt{2}) = a - b\sqrt{2}, \quad (25)$$

тогда f – автоморфизм поля $\mathbb{Q}(\sqrt{2})$. Таким образом, суть идеи автоморфизма полей состоит в перенумерации элементов поля, без изменения его структуры в целом.

Пусть \mathbb{E} нормальное расширение поля \mathbb{F} (т.е. $\mathbb{E} \supset \mathbb{F}$). В группе автоморфизмов $\text{Aut } \mathbb{E}$ выделим подгруппу $\text{Aut } \mathbb{E}/\mathbb{F}$ тех автоморфизмов $\mathcal{B}: \mathbb{E} \rightarrow \mathbb{E}$, которые поле \mathbb{F} оставляют на месте, т.е. $\mathcal{B}(x) = x$, если $x \in \mathbb{F}$. Элементы группы $\text{Aut } \mathbb{E}/\mathbb{F}$ называют \mathbb{F} -автоморфизмами поля \mathbb{E} . Например, автоморфизм (25) определяет \mathbb{Q} -автоморфизм поля $\mathbb{Q}(\sqrt{2})$.

Рассмотрим полином $p(x) \in \mathbb{F}[x]$ не имеющий кратных корней, полем разложения которого является расширение \mathbb{E} , тогда группу $\text{Aut } \mathbb{E}/\mathbb{F}$ называют группой Галуа полинома $p(x)$ (или соответствующего расширения \mathbb{E}) и обозначают $\text{Gal}(\mathbb{E}/\mathbb{F})$. Возьмем полином $p(x) = x^2 - 2$ полем разложения которого является $\mathbb{Q}(\sqrt{2})$. Группа Галуа полинома $p(x)$ состоит из двух элементов $\text{Gal}(\mathbb{Q}(\sqrt{2})/\mathbb{Q}) = \{f, g\}$, где f определена в (25), а $g(a + b\sqrt{2}) = a + b\sqrt{2}$. Очевидно, что g – единичный элемент группы (оставляет все на своих местах), также справедливо тождество $f \cdot f = g$. Полученная группа является циклической группой второго порядка.

Соответствие Галуа. Стержнем теории Галуа является соответствие между структурой расширения полей и структурой подгрупп автоморфизмов. Каждой подгруппе $H \subset \text{Gal}(\mathbb{E}/\mathbb{F})$ отвечает подполе

$$\mathbb{L} \subset \mathbb{E},$$

состоящее из элементов \mathbb{F} , неподвижных под действием автоморфизмов из H . И наоборот, каждому подполю $\mathbb{L} \subset \mathbb{E}$ отвечает подгруппа H автоморфизмов, оставляющих элементы \mathbb{L} на месте. В результате изучение всех подполей поля \mathbb{E} сводится к изучению всех подгрупп группы $\text{Gal}(\mathbb{E}/\mathbb{F})$. При этом каждой башне (цепочке вложенных) полей

$$\mathbb{F} = \mathbb{L}_0 \subset \mathbb{L}_1 \subset \dots \subset \mathbb{L}_r = \mathbb{E}, \quad (26)$$

отвечает нормальный ряд вложенных (в противоположном направлении) групп

$$\text{Gal}(\mathbb{E}/\mathbb{F}) = G_0 \supset G_1 \supset \dots \supset G_r = \{1\}, \quad (27)$$

и наоборот (соответствие Галуа).

Если имеется неприводимый подлинном $p(x)$ с коэффициентами из поля \mathbb{F} , полем разложения которого является \mathbb{E} , то используя соответствие Галуа для него можно построить башню полей (26). Причем в каждом поле \mathbb{L}_i $p(x)$ будет раскладываться в произведение неприводимых полиномов, а в поле \mathbb{E} разложиться в произведение линейных сомножителей. Таким образом, использование (26) позволяет выполнить поэтапную факторизацию полинома $p(x)$, что и требуется при синтезе быстрого алгоритма дискретного тригонометрического преобразования.

4.3 Быстрый алгоритм 4-точечного ДКП-2

В данном разделе подробно рассматривается пример синтеза быстрого алгоритма 4-точечного ДКП-2 на базе теоретического материала изложенного в предыдущих разделах. Исходным пунктом является модель сигнала для ДКП-2:

$$\mathcal{A} = \mathcal{M} = \mathbb{Q}[x]/(V_4 - V_3) = \mathbb{Q}[x]/2(x-1)U_3, \quad b = (V_0, \dots, V_3) \quad (28)$$

Рассмотрим полином $p(x) = 2(x-1)U_3(x)$, используя выражение (19) для факторизации $U_3(x)$ над полем \mathbb{Q} , получаем

$$p(x) = \underline{(2x-2)(2x)}(4x^2-2), \quad (29)$$

откуда, объединив на время сомножители, взятые в фигурную скобку, находим

$$p(x) = V_4(x) - V_3(x) = (4x^2 - 4x)(4x^2 - 2) = (V_2(x) - V_1(x))(V_2(x) + V_1(x)). \quad (30)$$

Согласно таблице 1 корни полинома $p(x)$ равны $\alpha_k = \cos k\pi/4, k = 0, \dots, 3$. Поскольку исходный модуль \mathcal{M} задан базис $b = (V_0, \dots, V_3)$ нам важно факторизовать полином p в том же базисе. Теперь, используя (30) и КТО получаем:

$$\mathbb{Q}[x]/(V_4 - V_3) \rightarrow \mathbb{Q}[x]/(V_2 - V_1) \oplus \mathbb{Q}[x]/(V_2 + V_1). \quad (31)$$

Преобразованию (31) соответствует матрица смены базиса B_4 . Для определения B_4 необходимо выразить базисные элементы $V_\ell \in b$ в базисе (c, d) , где c и d это базис подмодуля $\mathbb{Q}[x]/(V_2 - V_1)$ и $\mathbb{Q}[x]/(V_2 + V_1)$ соответственно. В таблице 2 производятся необходимые вычисления.

Используя последний столбец таблицы 2, получаем матрицу B_4 смены базиса $b \mapsto (c, d)$:

$$B_4 = \begin{bmatrix} I_2 & J_2 \\ I_2 & -J_2 \end{bmatrix}.$$

Важно отметить тот факт что, разложение полинома $p = V_4 - V_3 = (V_2 - V_1)(V_2 + V_1)$ над полем \mathbb{Q} приводит к тому, что переход (31), реализуемый в виде матрицы B_4 не требует умножения на числа не из поля \mathbb{Q} .

Таблица 2 Переход от базиса b к базису (c, d) , где $c = d = (V_0, V_1)$

Номер базисного элемента ℓ	$V_\ell \bmod (V_2 - V_1)$	$V_\ell \bmod (V_2 + V_1)$	$b \mapsto (c, d)$
0	$V_0 \bmod (V_2 - V_1) = V_0,$	$V_0 \bmod (V_2 + V_1) = V_0,$	$V_0 \mapsto (V_0, V_0)$
1	$V_1 \bmod (V_2 - V_1) = V_1,$	$V_1 \bmod (V_2 + V_1) = V_1,$	$V_1 \mapsto (V_1, V_1)$
2	$V_2 \bmod (V_2 - V_1) = V_1,$	$V_2 \bmod (V_2 + V_1) = -V_1,$	$V_2 \mapsto (V_1, -V_1)$
3	$V_3 \bmod (V_2 - V_1) = V_0,$	$V_3 \bmod (V_2 + V_1) = -V_0,$	$V_3 \mapsto (V_0, -V_0)$

Отметим, что слагаемые в правой части (31) соответствуют алгебрам для 2-точечных ДКП-2 и ДКП-4, соответственно. Тем самым задача синтеза быстрого алгоритма 4-точечного ДКП-2 распадается на две подзадачи синтеза быстрых алгоритмов для 2-точечных ДКП-2 и ДКП-4.

Продолжим рассмотрение модуля $\mathbb{Q}[x]/(V_2 - V_1)$, который раскладывается на два неприводимых модуля (размерности один) используя соотношение

$$V_2(x) - V_1(x) = (2x-2)(2x) = (V_1(x) - 1)(V_1(x) + 1)$$

следующим образом

$$\mathbb{Q}[x]/(V_2 - V_1) \rightarrow \mathbb{Q}[x]/(V_1 - 1) \oplus \mathbb{Q}[x]/(V_1 + 1). \quad (32)$$

Преобразованию (32) отвечает матрица

$$B_2 = \begin{bmatrix} 1 & 1 \\ 1 & -1 \end{bmatrix}.$$

Шаги (31) – (32) позволяют выполнить частичную декомпозицию исходного модуля \mathcal{M} :

$$\mathbb{Q}[x]/(V_4 - V_3) \rightarrow \mathbb{Q}[x]/(V_1 - 1) \oplus \mathbb{Q}[x]/(V_1 + 1) \oplus \mathbb{Q}[x]/(V_2 + V_1) \quad (33)$$

которой соответствует факторизация (29). Наша конечная цель состоит в полном разложении \mathcal{M} на неприводимые подмодули размерности один. Чтобы продолжить разложение (33) необходимо расширить основное поле \mathbb{Q} .

Рассмотрим полином

$$V_2(x) + V_1(x) = 4x^2 - 2,$$

очевидно, что полем его разложения является $\mathbb{Q}(\sqrt{2})$, которое для краткости обозначим $\mathbb{Q}_{\sqrt{2}}$:

$$V_2(x) + V_1(x) = (2x - \sqrt{2})(2x + \sqrt{2}) = (V_1(x) + (1 - \sqrt{2}))(V_1(x) + (1 + \sqrt{2})).$$

Воспользуемся данной факторизацией для разложения модуля $\mathbb{Q}[x]/(V_2 + V_1)$

$$\mathbb{Q}[x]/(V_2 + V_1) \rightarrow \mathbb{Q}_{\sqrt{2}}[x]/(V_1 - (1 - \sqrt{2})) \oplus \mathbb{Q}_{\sqrt{2}}[x]/(V_1 + (1 + \sqrt{2})), \quad (34)$$

учитывая, что

$$\begin{aligned} V_0 \bmod (V_1 + (1 - \sqrt{2})) &= V_0 \equiv 1, & V_0 \bmod (V_1 + (1 + \sqrt{2})) &= V_0 \equiv 1, \\ V_1 \bmod (V_1 + (1 - \sqrt{2})) &= \sqrt{2} - 1, & V_1 \bmod (V_1 + (1 + \sqrt{2})) &= -\sqrt{2} - 1, \end{aligned}$$

матрица перехода, отвечающая (34), запишется как

$$T_2 = \begin{bmatrix} 1 & \sqrt{2} - 1 \\ 1 & -\sqrt{2} - 1 \end{bmatrix} = \begin{bmatrix} 1 & 1 \\ 1 & -1 \end{bmatrix} \cdot \begin{bmatrix} 1 & -1 \\ 1 & \sqrt{2} \end{bmatrix}. \quad (35)$$

Из (35) легко заметить, что умножение на матрицу T_2 требует только одной операции умножения.

Выполнение (34) завершает полное (поэтапное) разложение модуля $\mathcal{M} = \mathbb{Q}[x]/(V_4 - V_3)$, описывающего 4-точечное ДКП-2, на неприводимые подмодули размерности один (рисунок 1). На рисунке 1 учитывается, что

$$\begin{aligned} \mathbb{Q}[x]/(V_1 - 1) &\cong \mathbb{Q}[x]/(x - 1) = \mathbb{Q}[x]/(x - \alpha_0), \\ \mathbb{Q}[x]/(V_1 + 1) &\cong \mathbb{Q}[x]/(x - 0) = \mathbb{Q}[x]/(x - \alpha_2), \\ \mathbb{Q}_{\sqrt{2}}[x]/(V_1 - (1 - \sqrt{2})) &\cong \mathbb{Q}_{\sqrt{2}}[x]/(x - \sqrt{2}/2) = \mathbb{Q}_{\sqrt{2}}[x]/(x - \alpha_1), \\ \mathbb{Q}_{\sqrt{2}}[x]/(V_1 - (1 + \sqrt{2})) &\cong \mathbb{Q}_{\sqrt{2}}[x]/(x + \sqrt{2}/2) = \mathbb{Q}_{\sqrt{2}}[x]/(x - \alpha_3). \end{aligned}$$

Матрица P_4 отвечает за перестановку неприводимых подмодулей в нужном порядке

$$P_4 = \begin{bmatrix} 1 & 0 & 0 & 0 \\ 0 & 0 & 1 & 0 \\ 0 & 1 & 0 & 0 \\ 0 & 0 & 0 & 1 \end{bmatrix}.$$

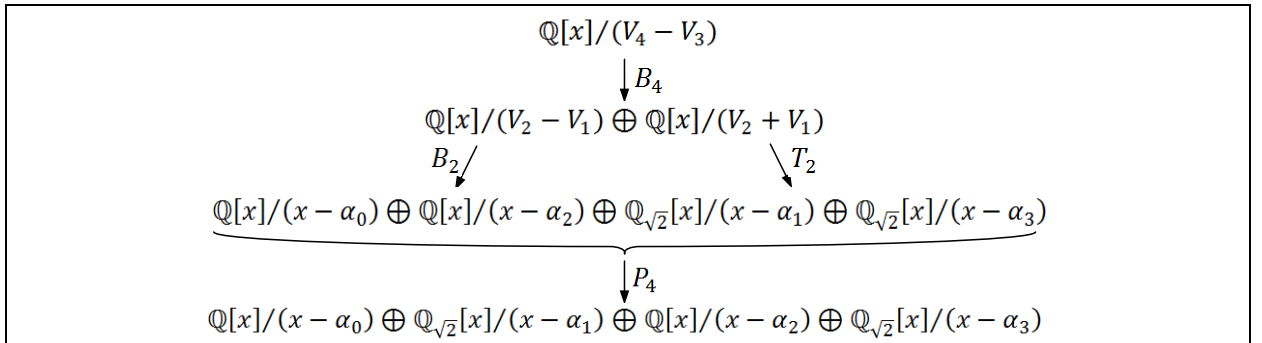


Рисунок 1 – Общая схема разложения модуля $\mathcal{M} = \mathbb{Q}[x]/(V_4 - V_3)$

Полиномиальное преобразование для модели сигнала (28), описывающей 4-точечное ДКП-2, имеет вид

$$\overline{\text{DCT}}_4 = \mathcal{P}_{b,\alpha} = P_4(B_2 \oplus T_2)B_4.$$

В соответствии с (20), для получения матрицы ДКП-2 необходимо $\overline{\text{DCT}}_4$ умножить на масштабирующую диагональную матрицу:

$$\text{DCT}2_4 = \text{diag}_{0 \leq k < 4}(\cos k\pi/8) \cdot \overline{\text{DCT}2_4}.$$

В итоге получен быстрый алгоритм 4-точечного ДКП-2, требующий четырех операций умножения (одно умножение для $\overline{\text{DCT}2_4}$ и три умножения для $\text{diag}_{0 \leq k < 4}(\cos k\pi/8)$).

4.4 Быстрый алгоритм 4-точечного ДКП-4

В качестве ещё одного примера рассмотрим синтез быстрого алгоритма 4-точечного ДКП-4, модель сигнала которого приведена ниже

$$\mathcal{A} = \mathcal{M} = \mathbb{Q}[x]/(V_4 + V_3) = \mathbb{Q}[x]/2T_4, \quad b = (V_0, \dots, V_3)$$

Анализ полинома $p(x) = 2T_4(x)$ с использованием выражения (18) показывает, что $T_4(x)$ неприводим над полем \mathbb{Q} . Поэтому для его поэтапной факторизации необходимо расширить основное поле \mathbb{Q} . Корнями полинома $T_4(x)$ являются $\alpha_k = \cos(k+\frac{1}{2})\pi/4$, $k = 0, \dots, 3$, поэтому $\mathbb{Q}(\alpha_0, \alpha_1, \alpha_2, \alpha_3)$ – поле разложения полинома $p(x)$. Если заметить, что

$$\begin{aligned} \alpha_0 &= \cos \frac{\pi}{8} = -\alpha_3 = -\cos \frac{7\pi}{8} = \frac{1}{2}\sqrt{2+\sqrt{2}}, \\ \alpha_1 &= \cos \frac{3\pi}{8} = -\alpha_2 = -\cos \frac{5\pi}{8} = \frac{1}{2}\sqrt{2-\sqrt{2}}, \end{aligned}$$

то поле разложения полинома $p(x)$ запишется как $\mathbb{Q}(\alpha_0, \alpha_1) \cong \mathbb{Q}(\sqrt{2+\sqrt{2}})$. Поле $\mathbb{Q}(\alpha_0, \alpha_1)$ можно рассматривать, как четырехмерное векторное пространство, поскольку любой элемент $\theta \in \mathbb{Q}(\alpha_0, \alpha_1)$ представим в виде

$$\theta = a + b\alpha_0 + c\alpha_1 + d\alpha_0\alpha_1,$$

где $a, b, c, d \in \mathbb{Q}$. Группа $\text{Aut } \mathbb{Q}(\alpha_0, \alpha_1)/\mathbb{Q}$ является группой Галуа полинома $p(x)$. Элементами группы Галуа являются следующие автоморфизмы:

$$\begin{aligned} g_0(\theta) &= \theta, & g_1(\theta) &= a + c\alpha_0 + b\alpha_1 + d\alpha_0\alpha_1, \\ g_2(\theta) &= a + b\alpha_0 + c\alpha_1 - d\alpha_0\alpha_1, & g_3(\theta) &= a + c\alpha_0 + b\alpha_1 - d\alpha_0\alpha_1. \end{aligned}$$

Приведем таблицу Кэли для данной группы автоморфизмов (таблица 3).

Таблица 3 Таблица Кэли группы $\text{Gal}(\mathbb{Q}(\alpha_0, \alpha_1)/\mathbb{Q}) = \text{Aut } \mathbb{Q}(\alpha_0, \alpha_1)/\mathbb{Q}$

\circ	g_0	g_1	g_2	g_3
g_0	g_0	g_1	g_2	g_3
g_1	g_1	g_0	g_3	g_2
g_2	g_2	g_3	g_0	g_1
g_3	g_3	g_2	g_1	g_0

Из таблицы 3 видно, что $H \in \{g_0, g_1\}$ образует подгруппу группы $\text{Gal}(\mathbb{Q}(\alpha_0, \alpha_1)/\mathbb{Q})$, которая определяет подполе \mathbb{Q}_H такое что $\mathbb{Q}_H = \{\theta \in \mathbb{Q}(\alpha_0, \alpha_1) | g(\theta) = \theta \ \forall g \in H\}$.

В рассматриваемом случае $\mathbb{Q}_H = \mathbb{Q}(\alpha_0\alpha_1) \cong \mathbb{Q}(\sqrt{2})$. Таким образом, согласно теории Галуа (26) – (27) получаем нормальный ряд вложенных групп

$$\text{Gal}(\mathbb{Q}(\alpha_0, \alpha_1)/\mathbb{Q}) \supset H \supset \{1\},$$

которому отвечает башня полей

$$\mathbb{Q} \subset \mathbb{Q}(\alpha_0\alpha_1) \subset \mathbb{Q}(\alpha_0, \alpha_1). \quad (36)$$

На основании (36) можно предложить следующую схему факторизации полинома $p(x)$

$$\begin{aligned} p &= \underbrace{V_4 + V_3}_{\mathbb{Q}} = \underbrace{(V_2 + V_1 - \sqrt{2})(V_2 + V_1 + \sqrt{2})}_{\mathbb{Q}(\alpha_0\alpha_1)} = \\ &= \underbrace{(V_1 + (1 - \sqrt{2 + \sqrt{2}}))(V_1 + (1 + \sqrt{2 + \sqrt{2}}))(V_1 + (1 - \sqrt{2 - \sqrt{2}}))(V_1 + (1 + \sqrt{2 - \sqrt{2}}))}_{\mathbb{Q}(\alpha_0, \alpha_1)}, \end{aligned} \quad (37)$$

где под фигурными скобками указаны соответствующие поля разложения.

Руководствуясь (37) предлагается следующая схема разложения модуля $\mathcal{M} = \mathbb{Q}[x]/p$

$$\begin{aligned} \mathbb{Q}[x]/(V_4+V_3) &\xrightarrow{R_4} \mathbb{Q}_{\alpha_0\alpha_1}[x]/(V_2+V_1-\sqrt{2}) \oplus \mathbb{Q}_{\alpha_0\alpha_1}[x]/(V_2+V_1+\sqrt{2}) \\ &\xrightarrow{R_2 \oplus S_2} \mathbb{Q}_{(\alpha_0, \alpha_1)}[x]/(V_1+(1-\sqrt{2+\sqrt{2}})) \oplus \mathbb{Q}_{(\alpha_0, \alpha_1)}[x]/(V_1+(1+\sqrt{2+\sqrt{2}})) \oplus \\ &\quad \mathbb{Q}_{(\alpha_0, \alpha_1)}[x]/(V_1+(1-\sqrt{2-\sqrt{2}})) \oplus \mathbb{Q}_{(\alpha_0, \alpha_1)}[x]/(V_1+(1+\sqrt{2-\sqrt{2}})) \end{aligned} \quad (38)$$

$$\xrightarrow{P_4} \bigoplus_{0 \leq i < 4} \mathbb{Q}_{(\alpha_0, \alpha_1)}[x]/(x - \alpha_i).$$

Над стрелками в (38) указаны матрицы, отвечающие за соответствующий переход, также во всех подмодулях предполагается, что базис состоит из полиномов Чебышева третьего рода V_ℓ . В таблице 4 приведены вычисления, необходимые для определения матрицы R_4 .

Таблица 4 Вычисление матрицы R_4

Номер базисного элемента ℓ	$V_\ell \bmod (V_2 + V_1 - \sqrt{2})$	$V_\ell \bmod (V_2 + V_1 + \sqrt{2})$
0	V_0	V_0
1	V_1	V_1
2	$-V_1 + \sqrt{2}V_0$	$-V_1 - \sqrt{2}V_0$
3	$\sqrt{2}V_1 - V_0$	$-\sqrt{2}V_1 - V_0$

Используя таблицу 4 можно записать матрицу

$$R_4 = \begin{bmatrix} 1 & \sqrt{2} & -1 & \\ & 1 & -1 & \sqrt{2} \\ 1 & -\sqrt{2} & -1 & \\ & 1 & -1 & -\sqrt{2} \end{bmatrix} = \begin{bmatrix} 1 & & & \\ & 1 & & \\ & & 1 & \\ & & & -1 \end{bmatrix} \cdot \begin{bmatrix} 1 & & & -1 \\ & 1 & -1 & \\ & & \sqrt{2} & \\ & & & \sqrt{2} \end{bmatrix}.$$

Исходя соотношений:

$$V_0 \bmod \left(V_1 + (1 - \sqrt{2 + \sqrt{2}}) \right) = V_0 \equiv 1, \quad V_0 \bmod \left(V_1 + (1 + \sqrt{2 + \sqrt{2}}) \right) = V_0 \equiv 1,$$

$$V_1 \bmod \left(V_1 + (1 - \sqrt{2 + \sqrt{2}}) \right) = \sqrt{2 + \sqrt{2}} - 1, \quad V_1 \bmod \left(V_1 + (1 + \sqrt{2 + \sqrt{2}}) \right) = -\sqrt{2 + \sqrt{2}} - 1,$$

определяется матрица R_2

$$R_2 = \begin{bmatrix} 1 & \sqrt{2 + \sqrt{2}} - 1 \\ 1 & -\sqrt{2 + \sqrt{2}} - 1 \end{bmatrix} = \begin{bmatrix} 1 & \\ & -1 \end{bmatrix} \cdot \begin{bmatrix} 1 & -1 \\ & \sqrt{2 + \sqrt{2}} \end{bmatrix}.$$

Аналогично из

$$V_0 \bmod \left(V_1 + (1 - \sqrt{2 - \sqrt{2}}) \right) = V_0 \equiv 1, \quad V_0 \bmod \left(V_1 + (1 + \sqrt{2 - \sqrt{2}}) \right) = V_0 \equiv 1,$$

$$V_1 \bmod \left(V_1 + (1 - \sqrt{2 - \sqrt{2}}) \right) = \sqrt{2 - \sqrt{2}} - 1, \quad V_1 \bmod \left(V_1 + (1 + \sqrt{2 - \sqrt{2}}) \right) = -\sqrt{2 - \sqrt{2}} - 1,$$

находится матрица

$$S_2 = \begin{bmatrix} 1 & \sqrt{2 - \sqrt{2}} - 1 \\ 1 & -\sqrt{2 - \sqrt{2}} - 1 \end{bmatrix} = \begin{bmatrix} 1 & \\ & -1 \end{bmatrix} \cdot \begin{bmatrix} 1 & -1 \\ & \sqrt{2 - \sqrt{2}} \end{bmatrix}.$$

Поскольку

$$\mathbb{Q}_{(\alpha_0, \alpha_1)}[x]/(V_1 + (1 - \sqrt{2 + \sqrt{2}})) \cong \mathbb{Q}_{(\alpha_0, \alpha_1)}[x]/(x - \alpha_0), \quad \mathbb{Q}_{(\alpha_0, \alpha_1)}[x]/(V_1 + (1 + \sqrt{2 + \sqrt{2}})) \cong \mathbb{Q}_{(\alpha_0, \alpha_1)}[x]/(x - \alpha_3),$$

$$\mathbb{Q}_{(\alpha_0, \alpha_1)}[x]/(V_1 + (1 - \sqrt{2 - \sqrt{2}})) \cong \mathbb{Q}_{(\alpha_0, \alpha_1)}[x]/(x - \alpha_1), \quad \mathbb{Q}_{(\alpha_0, \alpha_1)}[x]/(V_1 + (1 + \sqrt{2 - \sqrt{2}})) \cong \mathbb{Q}_{(\alpha_0, \alpha_1)}[x]/(x - \alpha_2),$$

то матрица перестановки в (38) определяется как

$$P_4 = \begin{bmatrix} 1 & 0 & 0 & 0 \\ 0 & 0 & 1 & 0 \\ 0 & 0 & 0 & 1 \\ 0 & 1 & 0 & 0 \end{bmatrix}.$$

Полиномиальное преобразование 4-точечного ДКП-4, согласно пошаговой декомпозиции (38), имеет вид

$$\overline{\text{DCT}}_4 = \mathcal{P}_{b, \alpha} = P_4(R_2 \oplus S_2)R_4.$$

Матрица ДКП-4 получается из $\overline{\text{DCT}}_4$, согласно (22), умножением на масштабирующую диагональную матрицу:

$$\text{DCT4}_4 = \text{diag}_{0 \leq k < 4}(\cos(k + \frac{1}{2})\pi/8) \cdot \overline{\text{DCT4}_4}.$$

В итоге получен быстрый алгоритм 4-точечного ДКП-4, требующий восьми операций умножения (четыре умножения для $\overline{\text{DCT4}_4}$ и четыре умножения для $\text{diag}_{0 \leq k < 4}(\cos k\pi/8)$).

4.5 Быстрый алгоритм 8-точечного ДКП-2

Самое широкое распространение в последнее время получил алгоритм 8-точечного ДКП-2, что связано с его применением в стандарте кодирования изображений JPEG [10]. Применим предлагаемый в статье подход к синтезу быстрого алгоритма 8-точечного ДКП-2. Как и в предыдущих примерах, начальным пунктом является модель сигнала, описывающего ДКП-2:

$$\mathcal{A} = \mathcal{M} = \mathbb{Q}[x]/(V_8 - V_7) = \mathbb{Q}[x]/2(x-1)U_7, \quad b = (V_0, \dots, V_7)$$

Рассмотрим полином $p(x) = 2(x-1)U_7(x)$ используя выражение (19) для факторизации $U_7(x)$ над полем \mathbb{Q} получаем

$$p(x) = \underbrace{(2x-2)(2x)(4x^2-2)}_{(V_4(x)-V_3(x))(V_4(x)+V_3(x))} (16x^4 - 16x + 2),$$

откуда, объединив на время сомножители, взятые в фигурную скобку, находим

$$p(x) = (16x^4 - 16x^3 - 8x^2 + 8x)(16x^4 - 16x + 2) = (V_4(x) - V_3(x))(V_4(x) + V_3(x)). \quad (39)$$

Согласно таблице 1 корни полинома $p(x)$ равны $\alpha_k = \cos k\pi/8, k = 0, \dots, 7$. Теперь, используя (39) и КТО, можно перейти от исходного модуля \mathcal{M} размерности восемь к прямой сумме двух подмодулей размерности четыре:

$$\mathbb{Q}[x]/(V_8 - V_7) \xrightarrow{B_8} \mathbb{Q}[x]/(V_4 - V_3) \oplus \mathbb{Q}[x]/(V_4 + V_3) \quad (40)$$

Преобразованию (40) соответствует матрица смены базиса B_8 . Для определения B_8 необходимо выразить базисные элементы b в базисе (c, d) , где $c = d = (V_0, \dots, V_3)$ это базис подмодуля $\mathbb{Q}[x]/(V_4 - V_3)$ и $\mathbb{Q}[x]/(V_4 + V_3)$ соответственно. Выполняя действия, аналогичные выполненным в таблице 3, получаем

$$B_8 = \begin{bmatrix} I_4 & J_4 \\ I_4 & -J_4 \end{bmatrix}.$$

Алгебры в правой части (40) соответствуют 4-точечным ДКП-2 и ДКП-4, соответственно. Тем самым задача синтеза быстрого алгоритма 8-точечного ДКП-2 распадается на две подзадачи синтеза быстрых алгоритмов 4-точечных ДКП-2 и ДКП-4, которые были решены в предыдущих разделах. Таким образом, общая схема разложения модуля $\mathbb{Q}[x]/(V_8 - V_7)$ запишется как

$$\begin{aligned} \mathbb{Q}[x]/(V_8 - V_7) &\xrightarrow{B_8} \mathbb{Q}[x]/(V_4 - V_3) \oplus \mathbb{Q}[x]/(V_4 + V_3) \\ &\xrightarrow{\overline{\text{DCT2}_4} \oplus \overline{\text{DCT4}_4}} \bigoplus_{i=0,2,4,6} \mathbb{Q}_{(\alpha_2)}[x]/(x - \alpha_i) \oplus \bigoplus_{i=1,3,5,7} \mathbb{Q}_{(\alpha_1, \alpha_3)}[x]/(x - \alpha_i) \\ &\xrightarrow{P_8} \bigoplus_{0 \leq i < 8} \mathbb{Q}_{(\alpha_1, \alpha_3)}[x]/(x - \alpha_i). \end{aligned} \quad (41)$$

В (41) P_8 – матрица перестановки неприводимых подмодулей в соответствии с индексами корней полинома $p = V_8 - V_7$. Отметим также, что $\mathbb{Q}_{(\alpha_2)} \cong \mathbb{Q}_{\sqrt{2}}$ является подполем $\mathbb{Q}_{(\alpha_1, \alpha_3)} \cong \mathbb{Q}(\sqrt{2+\sqrt{2}}$ Используя (41) получаем быстрый алгоритм полиномиального 8-точечного ДКП-2

$$\overline{\text{DCT2}_8} = \mathcal{P}_{b,\alpha} = P_8(\overline{\text{DCT2}_4} \oplus \overline{\text{DCT4}_4})B_8.$$

Для получения матрицы ДКП-2 умножим $\overline{\text{DCT2}_8}$ на масштабирующую диагональную матрицу:

$$\text{DCT2}_8 = \text{diag}_{0 \leq k < 8}(\cos k\pi/16) \cdot \overline{\text{DCT2}_8}. \quad (42)$$

В итоге получен быстрый алгоритм для 8-точечного ДКП-2. Схема алгоритма, соответствующего (42) приводится на рисунке 2. Алгоритм требует 29 сложений и 12 умножений (или 5 умножений, если не выполнять масштабирования).

5 Заключение

Представлен систематический подход к синтезу быстрых алгоритмов дискретных тригонометрических преобразований на основе алгебраической теории обработки сигналов. Основное внимание уделено дискретным косинусным преобразованием второго и четвертого типов. Использованный в статье подход упрощает синтез быстрых алгоритмов и дает лучшее представление об их алгебраической структуре. Ключевым является соответствие между дискретным тригонометрическим преобразованием и полиномиальной алгеброй $\mathbb{Q}[x]/p(x)$. Быстрый алгоритм получается в результате действий над алгеброй, а не над матрицей

преобразования. По сути, быстрый алгоритм сводится к нахождению пошаговой факторизации полинома $p(x)$. Для этой цели великолепно подходит теория Галуа, позволяющая определить башню полей в которых $p(x)$ раскладывается на сомножители меньшей степени.

В качестве практического результата получен быстрый алгоритм 8-точечного ДКП-2, содержащий в ядре своей структуры только 5 операций умножения и 29 операций сложения.

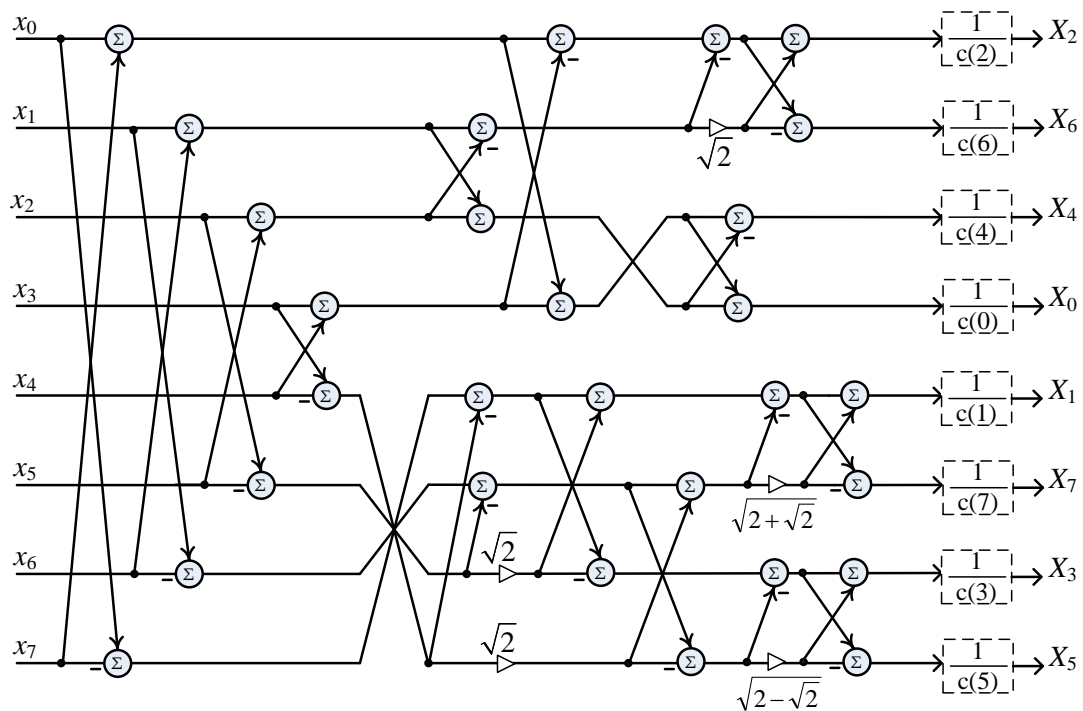


Рисунок 2 – Граф-схема быстрого алгоритма 8-точечного ДКП-2, $c(k) = \cos \frac{\pi k}{16}$, $k = 0, \dots, 7$

6 Литература

1. Белый А.А., Бовбель Е.И., Микулович В.И. Алгоритмы быстрого преобразования Фурье и их свойства // Зарубежная радиоэлектроника. – 1979. – №2. – С. 3–29.
2. Вайрадян А.С., Пчелинцев И.П., Чельшев М.М. Алгоритмы вычисления цифровых свертков // Зарубежная радиоэлектроника. – 1982. – №3. – С. 3–34.
3. Нуссбаумер, Г. Быстрое преобразование Фурье и алгоритмы вычисления свертков – М. : Радио и связь, 1985. – 248 с.
4. Крот А.М. Дискретные модели динамических систем на основе полиномиальной алгебры – Мн. : Наука и техника, 1990. – 312 с.
5. Püschel M., Moura J.M.F. Algebraic Signal Processing Theory: Cooley-Tukey Type Algorithms for DCTs and DSTs // IEEE Transactions on Signal Processing. – 2008. – Vol. 56, № 4. – P. 1502–1521.
6. Трахтман А.М., Трахтман В.А. Основы теории дискретных сигналов на конечных интервалах – М. : Советское радио, 1975. – 208 с.
7. Шилов Г.Е. Математический анализ. Конечномерные линейные пространства – М. : Наука, 1969 – 421 с.
8. Püschel M., Moura J.M.F. Algebraic Signal Processing Theory: foundation and 1-D time // IEEE Transactions on Signal Processing. – 2008. – Vol. 56, № 8. – P. 3572–3585.
9. Ахо А., Хопкрофт Дж., Ульман Дж. Построение и анализ вычислительных алгоритмов – М. : Мир, 1979. – 536 с.
10. Миано Дж., Форматы и алгоритмы сжатия изображений в действии – М. : Триумф, 2003. – 336 с.
11. Данилов Ю.А., Многочлены Чебышева – Мн. : Высшая школа, 1984. – 160 с.
12. Rayes M., Trevisan V., Wang P.S. Factorization properties of Chebyshev polynomials // Computers and mathematics with applications. – 2005. – vol. 50. –P. 1231–1240.
13. Босс В. , Теория Групп – М. : «Либроком», 2009. – 216 с.